

Baulicher Luftschutz

Autor(en): **Schindler, G.**

Objektyp: **Article**

Zeitschrift: **Protar**

Band (Jahr): **3 (1936-1937)**

Heft 2

PDF erstellt am: **27.06.2024**

Persistenter Link: <https://doi.org/10.5169/seals-362507>

Nutzungsbedingungen

Die ETH-Bibliothek ist Anbieterin der digitalisierten Zeitschriften. Sie besitzt keine Urheberrechte an den Inhalten der Zeitschriften. Die Rechte liegen in der Regel bei den Herausgebern.

Die auf der Plattform e-periodica veröffentlichten Dokumente stehen für nicht-kommerzielle Zwecke in Lehre und Forschung sowie für die private Nutzung frei zur Verfügung. Einzelne Dateien oder Ausdrucke aus diesem Angebot können zusammen mit diesen Nutzungsbedingungen und den korrekten Herkunftsbezeichnungen weitergegeben werden.

Das Veröffentlichen von Bildern in Print- und Online-Publikationen ist nur mit vorheriger Genehmigung der Rechteinhaber erlaubt. Die systematische Speicherung von Teilen des elektronischen Angebots auf anderen Servern bedarf ebenfalls des schriftlichen Einverständnisses der Rechteinhaber.

Haftungsausschluss

Alle Angaben erfolgen ohne Gewähr für Vollständigkeit oder Richtigkeit. Es wird keine Haftung übernommen für Schäden durch die Verwendung von Informationen aus diesem Online-Angebot oder durch das Fehlen von Informationen. Dies gilt auch für Inhalte Dritter, die über dieses Angebot zugänglich sind.

Bezeichnungen (Abb. 7).

- b = wirksame Breite der Betonplatte (Balkenabstand)
- d = Stärke der Betonplatte
- a = Breite der Holzrippe
- h = Höhe des Verbundquerschnitts
- e_1 = Abstand des Schwerpunkts vom äussersten Druckrand
- e_2 = Abstand des Schwerpunkts vom äussersten Zugrand
- E_B = Elastizitätsmodul des Betons = 200'000 kg/cm²
- E_H = Elastizitätsmodul des Holzes = 110'000 kg/cm²
- n = Verhältnis der Elastizitätsmoduli
- D = innere Druckkraft
- Z = innere Zugkraft
- m = Abstand der Mittelpunkte der Zug- und Druckkräfte
- M = Moment der innern Kräfte = äusseres Biegemoment
- σ_B = Spannung in der äussersten Betonschicht in kg/cm²
- σ_H = Spannung in den äussersten Holzfasern in kg/cm²
- Q = Querkraft
- A = Auflagerdruck
- T = horizontale Schubkraft
- τ = Schubspannung in kg/cm²
- s = gegenseitiger Abstand der Verankerungseisen
- f = Eindringungstiefe der Verankerungseisen im Holz.

Bestimmung der Beton- und Holzspannungen.

Für den auf Biegung beanspruchten Holzbeton-Verbundbalken gelten folgende Gleichungen:

$$Z = D$$

$$m = \frac{2}{3} h$$

$$M = D \cdot m = Z \cdot m.$$

Die Dehnungen sind den Spannungen und folglich auch den Abständen von der Neutralachse proportio-

nal. Die Nulllinie des Verbundquerschnittes verläuft durch den Schwerpunkt S der wirksamen (schraffierten) Querschnittsfläche, worin der Holzquerschnitt durch einen n -fachen Betonquerschnitt ersetzt ist.

$$n = E_H / E_B = 0,55.$$

Die Lage der Neutralachse der wirksamen Querschnittsfläche, das heisst ihr Abstand von den äussersten Fasern, ist bestimmt durch die folgenden Gleichungen:

$$e_1 = \frac{1}{2} \left(\frac{n \cdot a \cdot h^2 + (b - n \cdot a) d^2}{n \cdot a \cdot h + (b - n \cdot a) d} \right)$$

$$e_2 = h - e_1.$$

Das Moment der innern Kräfte im Verbundquerschnitt, das auch dem äusseren Biegemoment entspricht, ist durch die folgenden Gleichungen bestimmt:

$$M = \frac{b \cdot e_1 / 2 \cdot \sigma_B}{D} \cdot \frac{2/3 h}{m} = \frac{a \cdot e_2 / 2 \cdot \sigma_H}{Z} \cdot \frac{2/3 h}{m},$$

woraus die Gleichungen für die Spannungen in den äussersten Schichten hervorgehen:

$$\sigma_B = \frac{3 M}{b e_1 h} \quad \sigma_H = \frac{3 M}{a e_2 h}.$$

Berechnung der Schubverankerung.

Die horizontale Schubkraft in der Neutralachse und auch in der Verbundfläche ist für je 1 cm Balkenlänge:

$$T = Q / m = 1,5 Q / h$$

und die von den einzelnen Verankerungseisen aufzunehmende Schubkraft ist demnach:

$$T_s = 1,5 Q s / h,$$

wobei in Auflagernähe $Q = A$ wird.

Bei f cm Eindringungstiefe des Eisenflansches wird der Stauchdruck im Holz:

$$\sigma = T_s / (f \cdot a).$$

Die horizontale Schubspannung im Holzbalken zwischen zwei Verankerungseisen ist:

$$\tau = T_s / (s \cdot a), \text{ oder } = 1,5 Q / (h \cdot a).$$

Baulicher Luftschutz Von G. Schindler, dipl. Arch., Zürich

Obwohl wir Techniker ein gewisses Widerstreben gegen Schreibereien hegen, erachte ich es als meine Pflicht, einige Angaben aus Versuchen zu veröffentlichen. Durch die Luftschuttliteratur, die gegenwärtig vorhanden ist, wird im Volke das Gefühl geweckt, dass der ganze bauliche Luftschutz sich im Anfangsstadium befinde. Daraus folgt ein gewisses Misstrauen, und notwendigste Massnahmen werden verzögert, damit nicht Anlagen erstellt werden, die Gefahr laufen, in einigen Monaten schon als überholt gelten zu müssen. In Wirklichkeit können die technischen Probleme aber als abgeklärt gelten, denn schon seit Jahren existieren systematische Untersuchungen. Grosszügige Anlagen im Auslande haben ihre Brauchbarkeit erwiesen. Der Fehler, dass diese Tatsachen nicht bekannt wurden, mag an uns liegen, da wir lieber neue Studien in Angriff nehmen, als über

Probleme zu schreiben, die bereits als erledigt gelten können.

Ein äusserst wichtiges Kapitel bedeutet die Belüftung der Schutzräume, da dieselbe nicht nur in Einzelfällen zur Anwendung gelangt, sondern in allen grössern Anlagen notwendig wird. Genaue Untersuchungen haben nämlich schon seit langem gezeigt, dass es wirtschaftlicher ist, kleine Schutzraumflächen vorzusehen und dafür eine künstliche Belüftung einzubauen, als grosse Anlagen mit dem notwendigen Luftvolumen für einen 3—4stündigen Aufenthalt zu erstellen.

Nicht abgeklärt war anfänglich die Frage, welche Luftquantitäten für die Belüftung notwendig seien. Natürlich konnten die Berechnungen der im Hochbau gebräuchlichen Ventilierungsanlagen keine brauchbaren Anhaltspunkte bilden, da dort im allgemeinen sehr reichlich dimen-

sioniert werden kann, während für Schutzraumanlagen der Mindestluftverbrauch festzustellen war.

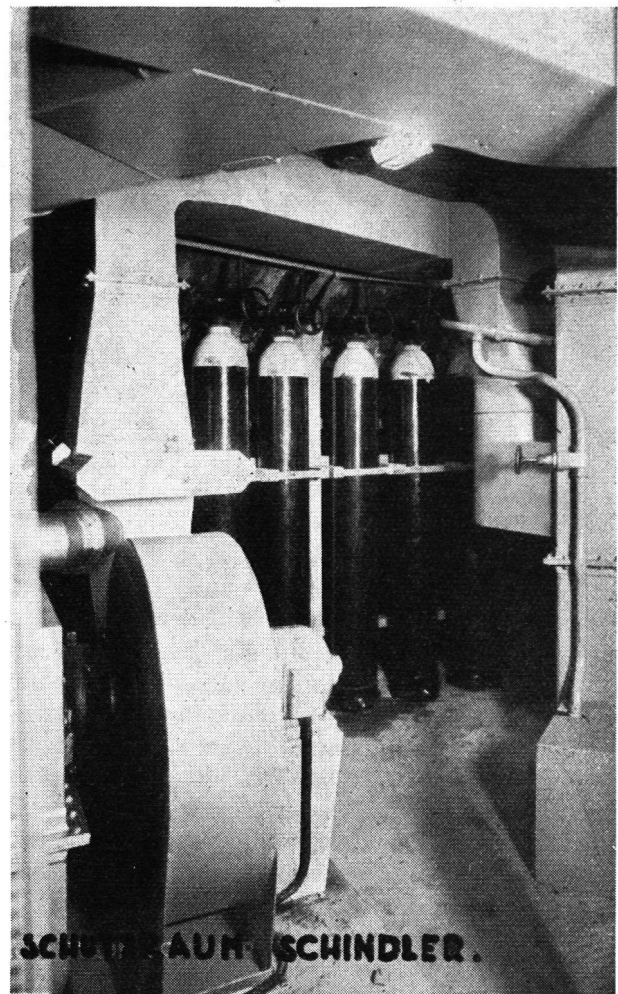
Von deutscher Seite wurden deshalb Versuche mit Einzelpersonen in geschlossenen Eisenbehältern vorgenommen, und durch genaue Messungen konnten sowohl Sauerstoffverbrauch als Kohlendioxidabgabe festgestellt werden. Persönlich befriedigte mich diese Angaben nicht, denn erstens handelte es sich um Einzelversuche und zweitens entsprach die gewählte Versuchsanordnung nicht der Wirklichkeit.

Die Reaktion des Körpers hängt nämlich nicht nur von der Zusammensetzung der eingeatmeten Luft ab, sondern in starkem Masse von der Raumtemperatur, der Feuchtigkeit und fast ebenso stark von der psychischen Verfassung, in der sich die Belegschaft des Schutzraumes befindet. Der Luftverbrauch kann vom ungünstigsten Fall bis zum günstigsten um ein Mehrfaches variieren. Einzelversuche in Anlagen, die nicht in allem den normalen Verhältnissen in Schutzräumen entsprechen, können deshalb zu vollständig falschen Resultaten führen.

Aus diesen Gründen benutzte ich bei einem Schutzraumbau in Frankreich die Gelegenheit, um eine Kreislaufbelüftung einzubauen. Der Fall war besonders günstig, da es sich um einen vollständig in der Erde gelegenen Schutzraum handelte, den ich überdies in vibriertem Beton erstellen liess, sodass ich über eine Versuchsanordnung verfügte, bei der keine äusseren und unbekanntenen Einflüsse auftreten konnten. Der Raum war verhältnismässig dicht, sodass ohne weiteres 100 mm Wassersäule Ueberdruck erzeugt werden konnten. Die Erdtemperatur war in allen Aussenwänden des Schutzraumes, dessen Kuppel sich 3 m unter Erde befindet, gleichmässig ca. 14 ° Celsius.

Der Versuch wurde mit 150 Personen durchgeführt, und zwar wurde die Personenverteilung derart vorgenommen, dass in dem vierstöckigen Schutzraum das zweitunterste Stockwerk überlastet wurde, während das unterste zur Kontrolle leer blieb. Das zweitoberste Stockwerk war normal besetzt. Im obersten Stockwerk war diejenige Besetzung, die in dem dort befindlichen Maschinenraum und Krankenraum normalerweise vorzusehen ist.

Als Maschinenanlage wurde eingebaut eine komplette Luftregenerieranlage, bestehend aus Kohlendioxidabsorptionsapparat, Sauerstoffzusatz aus Flaschen, Feuchtigkeitsregulierung und Kühlanlage, kombiniert für Luftkühlung und Wandkühlung nach System Sulzer. Die Luftumwälzung geschah durch einen Ventilator mit Elektromotor, der entweder durch die Stromversorgung oder durch eine besondere Dieselanlage gespeist wird. Um in allem kriegsmässige Verhältnisse zu erreichen, wurden die Arbeiter der Fabrik, die als



Maschinenanlage im Schutzraum «Schindler».

Von links nach rechts: Ventilator mit Elektromotor; Stahlflaschen mit komprimiertem Sauerstoff, 150 Atm.; Kohlendioxidabsorptionsapparat.

Belegschaft für den Schutzraum bestimmt waren, ziemlich bald nach Arbeitsbeginn alarmiert. Besonders unter den Frauen, die zirka 80 % des Personals ausmachten, war die Aufregung beträchtlich, denn wenn auch keine Kriegsangst vorhanden war, so erzeugte das Gefühl, für unbekanntere Versuche auserlesen zu sein, doch eine ähnliche Wirkung. Jedenfalls wurde eine Arbeiterin noch vor Betreten des Schutzraumes ohnmächtig. Sie erholte sich erst nachträglich im Schutzraum, was wir zu unseren Gunsten als Beweis einer einwandfreien Belüftung auslegen.

Sofort nach der Besetzung des Raumes, die drei Minuten dauerte, vom Alarm an gerechnet, wurden die Aussentüren hermetisch verschlossen und die Belüftungsanlage abgestellt. Nach dreissig Minuten hatte der Sauerstoffgehalt der Raumluft um zirka 0,5 % abgenommen und unter den Decken waren Kohlendioxidanreicherungen bis zu einem Prozent feststellbar. Wir hatten im Gegenteil eine stärkere Kohlendioxidkonzentration auf Bodenhöhe erwartet. Es zeigte sich jedoch während der ganzen Versuchsdauer, dass die Kohlendioxid trotz des grösseren



**Innenansicht des Schutzraumes «Schindler»
während den Versuchen.**

Luftverteilung unter der Decke. — Links oben ist ein Thermometer zur Kontrolle des Wärmedurchganges durch die Wände angebracht.

spezifischen Gewichtes sich an der Decke sammelte. Es hängt dies mit der Temperatur der ausgeatmeten Luft zusammen. Erst nach leichter Verstellung der Frischluftdüsen konnten wir nachträglich eine gleichmässige Zusammensetzung der Raumluft erreichen. Die Temperatur stieg sehr rasch in leicht abnehmbarer Kurve von 14°C auf $21,5^{\circ}\text{C}$ im überlasteten Raume und auf 20° im schwachbesetzten Stockwerk. Die relative Feuchtigkeit betrug bei $21,5^{\circ}$ 83 %.

Nach dreissig Minuten wurde die Luftumwälzung eingeschaltet und sofort traten starke Verschiebungen in den Messungen auf, obwohl weder Kühlung noch Luftregenerierung eingeschaltet waren. Es war dies einzig auf die gleichmässigeren Durchmischung der Luft zurückzuführen. Nachdem wieder ein einigermassen stationärer Zustand eingetreten war, wurde die Kohlensäureabsorptionsanlage in den Kreislauf eingeschaltet. Der Kohlensäuregehalt, der inzwischen noch etwas gestiegen war, fiel verhältnismässig rasch auf 0,5 % an den ungünstigsten Stellen. Dies bedeutete eine Absorption von zirka 1500 l, doch zeigten sich keinerlei Unterdruckerscheinungen im Schutzraum. Der Druckausgleich ging ziemlich gleichmässig durch die Wände vor sich.

Inzwischen war der Sauerstoffgehalt noch etwas gefallen, doch machten sich selbstverständlich keinerlei Beschwerden bemerkbar. Am unangenehmsten war die nach und nach stark steigende Feuchtigkeit und die Temperatur. Im normalen Leben hätte man die Luft als ziemlich «dick» an-

gesprochen. An den Wänden zeigten sich leichte Kondensationserscheinungen.

Nach einer Stunde seit Versuchsbeginn wurde die komplette Belüftungsanlage eingeschaltet, samt Sauerstoffzusatz und Kühlung. Nach drei weiteren Stunden war ein stationärer Zustand erreicht.

Die Endresultate betragen: Sauerstoffgehalt 21—21,5 % (normal), Kohlensäuregehalt maximal 0,3 % (an Decke), Temperatur maximal $23,5^{\circ}\text{C}$, Luftfeuchtigkeit bei $23,5^{\circ} = 76\%$, Kondensation an Wänden unmerklich.

Das Mittel der regenerierten und gekühlten Luft betrug an den Einführungsstellen $15,5^{\circ}\text{C}$ und 90 % relative Feuchtigkeit.

Der Aufenthalt im Raume erwies sich als sehr erträglich unter diesen Bedingungen. Ein Teil der Arbeiterinnen machte während der ganzen Dauer des Versuches Handarbeiten.

Infolge der günstigen Temperaturverhältnisse im Innern des Schutzraumes und der ruhigen Stimmung, die sich nach und nach einstellte, war der durchschnittliche Sauerstoffverbrauch geringer als wir anfänglich berechnet hatten. Von 32 Litern pro Stunde und Person, die allerdings zum Teil das Sauerstoffmanko zu Beginn ausgleichen mussten, fiel der Verbrauch auf rund 20 l/h herunter, eine Zahl, auf die wir uns bei spätern Berechnungen ohne weiteres stützten. Besonders interessant war die Tatsache, dass auch sämtliche unangenehme Gerüche in der Lüfterneuerungsanlage absorbiert wurden. Zur Kontrolle musste jemand aus dem Freien, wo er sich länger aufgehalten hatte, durch die Gasschleuse wieder in den Schutzraum eintreten. Die Luft wurde auch vom Neuankommenen absolut nicht als unangenehm empfunden.

Im gewöhnlichen Schutzraumbau kommen selbstverständlich derartig vollkommene Anlagen nur selten zur Anwendung. Selbst die Lüfterneuerungen der Unterseeboote sind einfacher, da die gesamte Kühleinrichtung fortfällt. Aber es ist wertvoll, wenn man vom komplizierten Versuch, bei dem man alle Einflüsse untersuchen kann, ausgeht und erst später auf Grund der gemachten Erfahrungen die einfachen Anlagen projiziert. Jedenfalls wollte ich mit dem angeführten Beispiel zeigen, dass die meisten Probleme des baulichen Luftschutzes, über die noch zum Teil diskutiert wird, effektiv schon seit längerer Zeit gründlich studiert sind und das Risiko für den Bauherrn klein ist, dass eine jetzt erstellte Anlage in absehbarer Zeit als überholt zu betrachten ist.